

Evaluation of Interpolation Methods for Estimating Fading Channels in Digital TV Broadcasting

Ali Pouladsade*, Mohammad Ali Sebghati**

*M.Sc., IRIB University, Faculty of Media Engineering and Technology, Tehran, Iran

**Faculty Member, IRIB University, Faculty of Media Engineering and Technology, Tehran, Iran

Abstract

Variations in telecommunication channels is a challenge of the wireless communication which makes the channel estimation and equalization a noteworthy issue. In OFDM systems, some subcarriers can be considered as pilots for channel estimation. In the pilot-aided channel estimation procedure, interpolation is an essential step to achieve channel response in data subcarriers. Choosing the best interpolation method has been the subject of various researches, because there is no interpolator as the best method in all conditions, and their performance depends on the fading model, signal-to-noise ratio and pilot overhead ratio. In this paper, the effect of different interpolation methods on the quality of DVB-T2 broadcast links is evaluated. A simulation platform is prepared in which different channel models are defined according to the real-world measurements. The interpolation for different pilot ratios is performed by seven widely-used methods: nearest neighbor, linear, cubic, spline, makima, FFT and modified Lagrange. After channel equalization by the results of the interpolator, the bit error rate is calculated as the main criterion for evaluation and comparison. The rules of selecting the appropriate interpolator in different conditions is presented. It is generally concluded that for fading scenarios close to flat fading or high pilot overhead ratio, the simple and fast interpolators such as linear interpolator are proper choices. But in harsh conditions, i.e., severe frequency-selective fading channels or low pilot overhead ratio, the more complicated interpolators such as cubic, spline and makima methods yield better results. The number of improvements and differences are quantified in this study.

Keywords: Channel estimation, One-dimensional interpolation, Fading channels, DVB-T2 standard.

بررسی کارایی روش‌های درونیابی برای تخمین کانال‌های محوشونده در پخش تلویزیون دیجیتال

علی پولادساده^{*}، محمدعلی سبقتوی^{**}

* کارشناس ارشد، دانشگاه صداوسیما، دانشکده فنی و مهندسی رسانه

** عضو هیات علمی، دانشگاه صداوسیما، دانشکده فنی و مهندسی رسانه

تاریخ دریافت: ۱۴۰۱/۱۰/۱۱ تاریخ ارسال: ۱۴۰۱/۱۰/۱۴

نوع مقاله: پژوهشی

چکیده

تغییرات کانال‌های مخابراتی یکی از چالش‌های ارتباطات بی‌سیم است که مسئله جبرانسازی اثر کانال به کمک تخمین مناسبی از پاسخ آن را مورد توجه قرار داده است. در سیستم پرکاربرد OFDM، می‌توان زیرحاملهایی را به عنوان پایلوت برای تخمین کانال لحاظ کرد. در روند تخمین کانال به کمک پایلوت، درونیابی برای دستیابی به پاسخ کانال در زیرحاملهای داده ضروری است. با توجه به تنوع روش‌های درونیابی، یافتن بهترین روش موضوع تحقیقات مختلفی بوده است، زیرا یک روش درونیابی به عنوان بهترین درونیاب در تمام شرایط وجود ندارد و عملکرد درونیابی به محوشوندگی کانال، سیگنال به نویز و سربار پایلوت وابسته است. در این مقاله تأثیر روش‌های مختلف درونیابی روی کیفیت پخش تلویزیون دیجیتال DVB-T2 استاندارد ارزیابی شده است. یک بسته شبیه‌سازی آماده شده است که مدل‌های مختلف کانال طبق اندازه‌گیری‌های واقعی در آن تعریف می‌گردد. درونیابی به ازای نسبت‌های پایلوت مختلف با هفت روش درونیابی نزدیکترین همسایه، خطی، مکعبی، اسپلاین، ماکیما، FFT و لاگرانژ اصلاح شده انجام می‌شود. پس از جبرانسازی کانال با نتیجه درونیابی، نرخ خطای بیت که معیار اصلی برای ارزیابی و مقایسه است بدهست می‌آید. با انجام آزمایش‌های مختلف، قواعدی برای انتخاب درونیاب مناسب در شرایط متفاوت ارائه شده است. نتایج نشان می‌دهد وقتی محوشوندگی کانال نزدیک محوشوندگی تخت و یا نسبت پایلوت زیاد است، استفاده از درونیاب‌های ساده و سریع مانند درونیابی خطی بهتر است؛ ولی در شرایط دشوار یعنی وقتی محوشوندگی کانال شدید و یا نسبت پایلوت کم است، استفاده از درونیاب‌های پیچیده‌تر مانند درونیابی مکعبی، اسپلاین و ماکیما نتیجه بهتری دارد. میزان بهبود و تفاوت درونیاب‌ها به طور کمی استخراج شده است.

واژگان کلیدی: تخمین کانال، درونیابی یک بعدی، کانال‌های محوشونده، استاندارد DVB-T2

درونویابی بهتر انجام شود، به تخمین بهتری از پاسخ کانال در زیرحاملهای داده دست می‌باییم که جبرانسازی کانال را بهبود می‌دهد. در پایلوت‌های نوع بلوکی، درونیابی در حوزه زمان مورد نیاز است. روش‌های درونیابی به دو نوع یک بعدی و دو بعدی قابل تقسیم است.

هنگامی که کانال به طور همزمان در هر دو محور زمان و فرکانس مورد بررسی قرار می‌گیرد، ممکن است سربار نمادهای پایلوت به طور قابل توجهی کاهش یابد، زیرا پردازش دو بعدی به طور همزمان همبستگی تابع کانال را در زمان و فرکانس بکار می‌گیرد. این ویژگی مزیت درونیابی‌های دو بعدی مانند فیلتر وینر است. فیلتر دو بعدی وینر که از نظر خطای میانگین مربع بهینه است، بر اساس اطلاعات آماری کانال طراحی می‌شود. در سناریوهای واقعی که کانال مستقیماً قابل مشاهده نیست، اطلاعات آماری کانال را به راحتی در اختیار نداریم. همچنین درونیابهای دو بعدی حجم پردازش بیشتری نیاز دارد. به همین دلیل درونیابهای یک بعدی که به اطلاعات اولیه از کانال نیاز ندارند و عملیات پیاده‌سازی آنها ساده‌تر است، کاربرد زیادی دارند. انواع مختلفی از طرح‌های درونیابی یک بعدی وجود دارد، از جمله درونیابی قطعه‌ای-ثابت، درونیابی خطی، درونیابی اسپلاین-مکعبی، درونیابی پایین گذر و درونیابی مرتبه دوم. درونیابی تکه‌ای-خطی و قطعه‌ای-ثابت از جمله ساده‌ترین رویکردها هستند. درونیابی مرتبه بالاتر مانند درونیابی چند جمله‌ای مرتبه دوم تکه‌ای، روش‌های پایین گذر و اسپلاین مکعبی، درونیابی کانالی را بهبود می‌بخشد. در [۳] هر دو نوع درونیابی یک بعدی و دو بعدی در سیستم OFDM ارزیابی شده‌است. از گروه درونیابهای دو بعدی علاوه بر فیلتر وینر، درونیابی سینک پایین گذر قابل تفکیک دو بعدی با پنجره کایزر^۲، درونیابی Deslauriers-Dubuc (DD) و درونیابی تبدیل فوریه گستته دو بعدی بررسی شده‌است. از میان درونیابهای یک بعدی نیز

۱. مقدمه

در ارتباطات بی‌سیم امروزی تغییرات فرکانسی و زمانی کانال یکی از چالش‌های مهم است. برای حل این مشكل باید اثر کانال مخرب جبران شود. به منظور جبرانسازی کانال^۱، باید تخمین مناسبی از پاسخ آن به دست آید. روش‌های مختلف تخمین کانال به سه رویکرد کور، نیمه کور و مبتنی بر پایلوت طبقه‌بندی شوند. الگوریتم‌های کور به هیچ داده آموزشی نیاز ندارند و از ویژگی‌های آماری یا ساختاری سیگنال‌های ارتباطی استفاده می‌کنند، ولی دقت تخمین در آنها کمتر است. از سوی دیگر، روش‌های تخمین با کمک پایلوت به مجموعه‌ای از نمادهای شناخته‌شده که با داده‌ها درهم آمیخته شده‌است نیاز دارند و به خطای تخمین کمتری نیز منجر می‌شوند. روش‌های نیمه کور یک معیار کور را با مقدار محدودی از داده‌های پایلوت ترکیب می‌کنند که هم نرخ موثر داده و هم سرعت همگرایی را بهبود می‌بخشد. این روش‌ها همچنین از پشتیبانی نمونه گسترش‌دهنده‌تری بهره می‌برند زیرا هم پایلوت و هم داده برای تخمین کانال استفاده می‌شود [۱].

فرآیند تخمین کانال به کمک پایلوت شامل سه مرحله است. مرحله اول چینش پایلوت‌ها در صفحه زمان-فرکانس است که انواع بلوکی، شانه‌ای و پراکنده دارد [۲]. در این مقاله چینش پایلوت شانه‌ای مدنظر است که تعدادی از زیرحاملهای هر سمبل OFDM^۳ را به پایلوت اختصاص می‌دهد، از این‌رو برای کانال‌هایی با تغییرات سریع (گسترش داپلر زیاد) مناسب‌تر است و ظرفیت پشتیانی از تحرک بیشتر سیستم را دارد. مرحله دوم تخمین کانال در زیرحاملهای پایلوت است که می‌تواند بوسیله یکی از روش‌های حداقل مربعات (LS)، حداقل میانگین مربعات خطأ (MMSE)، حداقل مربعات بازگشتی (RLS) یا فیلتر کالمون انجام شود. مرحله سوم درونیابی پاسخ کانال در زیرحاملهای داده است که برای آن نیز الگوریتم‌های مختلفی وجود دارد. بنابراین انتخاب درونیاب مناسب یکی از اقدام‌های مؤثر در این روند است. هر چه روند

¹Channel Equalization

² Orthogonal Frequency Division Multiplexing

³ Kaiser

درونيابي خطی بهترین عملکرد را در کanal محو شونde با کوچکترین گسترش تاخیر چندمسیره حاصل می کند. همچنین نشان داده شده است که انتخاب بهترین روش درونیابی به SNR در برخی از پروفایل های کanal محو شونde بستگی دارد.

برای تخمین کanal های OFDM، رو شی در [۹] پیشنهاد شده است که تخمین پاسخ کanal در پایلوت ها را با تخمینگر ML^۶ بدست می آورد و نتیجه را با چند جمله ای لاگرانژ درونیابی می کند. در [۱۰]، روش درونیابی لاگرانژ اصلاح شده^۷ با محدود کردن بازه های درونیابی پیشنهاد شده است. کارایی روش لاگرانژ اصلاح شده در کنار انواع درونیابهای اسپلاین، سینک، مکعبی و لاگرانژ روی تخمین کanal با محو شوندگی دو گانه گزین^۸ برسی و مقایسه شده است. برای کاهش پیچیدگی، پاسخ کanal با بسط توابع پایه (BEM^۹) مدل سازی شده است.

در [۱۱] یک ساختار درونیابی دو بعدی با ترکیب دو درونیابی یک بعدی با روش حداقل میانگین مربعات خطأ پیشنهاد شده است. کارایی این روش در استاندارد DVB-H^{۱۰} که گیرنده های آن تحرک دارند ارزیابی شده است. علیرغم نسخه های زمینی و ماهواره ای استاندارد DVB برای پخش تلویزیون دیجیتال که با موفقیت در کشورهای مختلف دنیا در حال به کار گیری است، نسخه این استاندارد برای ادوات دستی شکست خورد و وارد کاربرد گسترده نشد.

در [۱۲] عملکرد سیستم OFDM روی یک کanal چندمسیره با محو شوندگی رایلی بر اساس معیار BER ارزیابی شده است. برای تخمین کanal در زیر حامل های پایلوت از روش LS استفاده می شود و برای یافتن پاسخ کanal در زیر حامل های داده روش های مختلف درونیابی شامل درونیابی اسپلاین، درونیابی مکعبی، درونیابی پایین گذر، درونیابی FFT و درونیابی خطی به کار گرفته و با یکدیگر مقایسه شده است. علاوه بر مقایسه این تکنیک های درونیابی، یک تکنیک درونیابی موثر برای تخمین پاسخ فرکانسی کanal در زیر حامل های داده بر اساس طرح پایلوت شانه ای ارائه شده است. روش درونیابی پیشنهادی بر اساس کاهش خطای درونیابی و نویز کanal در تخمین LS است. در مرحله اول از روش درونیابی، پاسخ فرکانسی کanal با استفاده از تکنیک های درونیابی یک بعدی محاسبه می شود. سپس، پاسخ کanal تخمینی به کمک تبدیلIFFT از حوزه فرکانس به حوزه زمان منتقل می شود و در زمان هایی که انرژی کمی وجود دارد، یعنی فقط اثر نویز دیده

دروز یابی خطی، دروز یابی چند جمله ای مرتبه دوم، دروز یابی اسپلاین و درونیابی پایین گذر برای پایلوت های شانه ای در [۴] مورد تحقیق قرار گرفته است.

کارایی درونیابهای مختلف در کanal های LTE در پژوهش های مختلف ارزیابی شده است [۵]-[۸]. در [۶] یک تکنیک درونیابی برای تخمین کanal سیستم OFDM در استاندارد LTE-A بر مبنای تبدیل فوریه گسسته پیشنهاد شده است. در این تکنیک از دو درونیاب FFT یک بعدی استفاده می شود. ابتدا تخمین پاسخ فرکانسی کanal (CFR^{۱۱}) در زیر حامل های پایلوت توسط تخمینگر LS بدست می آید و نتیجه آن برای حذف نویز به فیلتر وینر داده می شود. در ادامه، پاسخ فرکانسی کanal در زیر حامل های داده به کمک FFT درونیابی می شود. بدین منظور در خروجی FFT از داده، تعدادی صفر اضافه و روی دنباله جدید IFFT اعمال می شود. این کار معادل درونیابی در حوزه زمان است که با اضافه کردن صفر^{۱۲} در حوزه فرکانس اجرا شده است. برای کanal LTE با محو شوندگی سریع، کارایی روش های مختلف درونیابی با آزمایش های عملی و اندازه گیری ارزیابی شده است [۷]. این بستر تست اجازه اندازه گیری تا سرعت ۴۰۰ کیلومتر در ساعت را داده است. این آزمایش ها با دو نوع درونیابی خطی و اسپلاین روی تعداد پایلوت های مختلف اجرا شده است. روش های مورد مقایسه عبارت است از درونیابی خطی دو پایلوت در فریم جاری، درونیابی های خطی و اسپلاین روی چهار پایلوت (دو پایلوت از فریم جاری و دو پایلوت از فریم های قبلی و بعدی)، و درونیابی اسپلاین روی شش پایلوت (چهار پایلوت قبلی به اضافه دو پایلوت دیگر از فریم های قبلی و بعدی). استفاده از پایلوت های فریم های مجاور زمانی سودمند است که عواملی مانند تغییر کanal و تکنیک پرش فرکانسی^{۱۳} نتیجه تخمین کanal در آن فریم ها را نامعتبر نکند. در [۸]، اثبات شده است که عملکرد تکنیک های تخمین کanal به کمک پایلوت نه تنها به SNR و نسبت پایلوت و شرایط کanal بستگی دارد، بلکه به انتخاب روش درونیابی برای استخراج پاسخ کanal در زیر حامل های غیر پایلوت نیز وابسته است. نرخ خطای بیت (BER) با روش های درونیابی مختلف شامل درونیابی چند جمله ای، چند جمله ای هرمیت مکعبی (PCHIP)، خطی، اسپلاین و تکه ای مکعبی در تخمین سه پروفایل کanal توسعه یافته ITU برای LTE بدست آمده است. در این آزمایش ها از تخمینگر LS استفاده شده است. نتایج شبیه سازی مذکور نشان می دهد استفاده از روش

⁶ Modified Lagrange

⁷ Doubly-selective

⁸ Basis Expansion Model

⁹ Digital Video Broadcasting-Hand-held

¹ Fast Fourier Transform

² Channel Frequency Response

³ Zero-padding

⁴ Frequency hopping

⁵ Maximum Likelihood

کانال‌های محوشونده در استاندارد DVB-T2⁶ انجام نشده است [۱۶]. در این مقاله، با تهیه یک بستر شبیه‌سازی و انجام آزمایش‌های مختلف، به دنبال ارزیابی عملکرد درونیابهای یک بعدی مختلف روی کانال‌های محوشونده در پخش زمینی تلویزیون دیجیتال منطبق با استاندارد DVB-T2 هستیم. چون استاندارد DVB-T2 در پخش زمینی صداوسیمای جمهوری اسلامی ایران در حال بکارگیری و توسعه است، این استاندارد انتخاب شده است. با چنین پژوهشی می‌توان بهترین روش درونیابی را در شرایط مختلف این نوع ارتباطات تعیین کرد. معیار ارزیابی، نرخ خطای بیت (BER) است که معیاری متدال در سنجش کیفیت تبادل داده در یک لینک محسوب می‌شود. روش‌های درونیابی مورد مقایسه در بخش ۲ معرفی می‌شوند. در بخش ۳ بستر شبیه‌سازی تشریح می‌گردد. توضیح آزمایش‌ها و نتایج آنها در فصل ۴ آمده است. در نهایت نتیجه‌گیری مقاله در فصل ۵ انجام می‌شود.

۲. معرفی روش‌های درونیابی

در این فصل روش‌های درونیابی که برای پاسخ کانال‌های محوشونده قابل استفاده است به طور اجمالی معرفی می‌گردد.

۱-۲ درونیابی خطی

درونویابی خطی انتباطق بهترین خط راست بین دو نقطه داده است. فرض می‌کنیم $f(x)$ تابع اصلی باشد که مقادیر آن تنها در تعدادی نقطه گسسته معلوم است و $(x, g(x))$ نیز تقریب درونیابی شده از آن تابع باشد. نقاطه x_0 و x_1 داده‌های هستند که به آن‌ها نقاط یا گره‌های درونیابی می‌گویند. برای عبور دادن خط از نقاط $(x_0, f(x_0))$ و $(x_1, f(x_1))$ رابطه زیر وجود دارد.

$$g(x) = f(x_0) \frac{(x_1 - x)}{(x_1 - x_0)} + f(x_1) \frac{(x - x_0)}{(x_1 - x_0)} \quad (1)$$

با محاسبه خط بین هر دو نقطه داده، درونیابی تکه‌ای-خطی بدست می‌آید.

۲-۲ درونیابی مکعبی کانولوشنی^۷

درونویابی براساس کانولوشن از داده‌های نمونه‌برداری شده یکنواخت به درونیابی هسته کرنل^۸ شاره دارد. $\mathbb{R} \rightarrow \mathbb{R}$ که وزن‌های تعیین شده $f_k = f(kT)$ را به نمونه‌های تابع اصلی $\mathbb{R} \rightarrow \mathbb{R}$ نسبت می‌دهد. برای سهولت در علامت‌گذاری

می‌شود، صفر قرار می‌گیرد. در نهایت، پاسخ ضربه کانال در حوزه زمان از طریق عملیات تبدیل فوریه سریع (FFT) به پاسخ فرکانسی کانال تبدیل می‌شود.

در [۱۳] مسئله درونیابی به صورت یک مسئله تجزیه ماتریس^۹ تعریف و حل شده است. یک ماتریس مرتبه پایین^{۱۰} می‌تواند با تکنیک تجزیه ماتریس درونیابی شود. در این تکنیک پاسخ کانال در سمبل‌های OFDM و زیرحاملهای مختلف به صورت یک ماتریس دو بعدی ثبت و با حل یک بهینه‌سازی مقید تجزیه می‌شود. چون حل این مسئله به طور مستقیم پیچیده است، الگوریتمی تکراری با استفاده از SVD^{۱۱} ارائه شده است. البته اجرای این الگوریتم نیز زمان بر است. همچنین کارایی این نوع درونیابی برای کانال‌هایی با شیفت داپلر کم (۵ تا ۷۰ هرتز) نسبت به روش‌های گذشته بهبود یافته است و در شیفت داپلرهای بالا ضعیف است. این تکنیک روی کل ماتریس پاسخ کانال اجرا می‌شود، لذا در زمرة روش‌های درونیابی دو بعدی است که در مقایسه با آنها نیز حجم محاسبات و زمان بیشتری نیاز دارد.

در راستای بهبود دقت درونیابی خطی که روشی ساده و کم هزینه ولی با خطای زیاد است، تکنیک‌هایی جهت بهینه‌سازی مبدأ مؤثر و زاویه خط به کار گرفته شده است [۱۴]. این روش گرچه نسبت به روش خطی عملکرد بهتری دارد ولی پیچیدگی آن حتی نسبت به درونیابی‌های غیرخطی نیز افزایش می‌یابد.

برای بهبود تخمین کانال در گیرندهای MIMO، روشی بر مبنای جستجوی مؤلفه‌های کانال با رویکرد بیزین^{۱۲} و کاهش نویز در [۱۵] ارائه شده است. این روش که در سناریوهای بدون دید مستقیم (NLoS^{۱۳}) شبکه 5G شبیه سازی شده است، گرچه به نام درونیابی بیزین شناخته می‌شود، ولی در واقع روشی برای تخمین کانال البته در زیرحاملهای بدون پایلوت است که به اطلاعات کانال مانند توزیع آماری مؤلفه‌ها نیاز دارد.

تحقیقات گذشته نشان می‌دهد عملکرد روش‌های مختلف درونیابی به پاسخ کانال وابسته است، چون رفتار تابعی که به دنبال درونیابی آن هستیم روی نتیجه درونیابی تأثیر دارد. پس به دلیل تنوع توابع، درونیابهای مختلف نیز جهت پاسخگویی به این تنوع ارائه شده است. در کانال‌های ارتباطی متفاوت، الگوی رفتار پاسخ کانال متفاوت است که مدل‌های مختلفی برای توصیف آنها ارائه شده است. در پژوهش‌های پیشین، کارایی درونیابی‌های مختلف در کانال‌هایی مانند استانداردهای شبکه‌های موبایل ارزیابی شده است. تاکنون چنین پژوهشی درباره کارایی روش‌های درونیابی برای انواع

⁵ Non-line of sight

⁶ Digital Video Broadcasting-Terrestrial

⁷ Cubic Convolutional Interpolation

⁸ kernel

¹ Matrix factorization

² Low-rank

³ Singular Value Decomposition

⁴ Bayesian

$$\alpha_0 = \frac{3l^2}{N_F^2} - \frac{2l^3}{N_F^3} \quad (7)$$

۴-۲ درونیابی نزدیکترین همسایه^۴

درونيابي نزدیکترین همسایه يا نمونه‌گيري نقطه‌اي يا درونیابي نقطه نزدیك مرکز يك روش ساده درونیابي برای توابع چندمتغیره در يك يا دو بعد است. الگوريتم نزدیکترین همسایه مقدار تابع در نزدیکترین نقطه را انتخاب كرده و به نقاط همسایگی دیگر نیازی ندارد. بدین ترتیب الگوريتم نزدیکترین همسایه يك تخمين موثر به صورت قطعه قطعه تولید می‌کند. اجرای این الگوريتم بسیار ساده است زیرا به محاسبات خاصی نیاز ندارد.

۵-۲ درونیابی آکیما^۵

روش آکیما برای هر بازه $[x_i, x_{i+1}]$ از مجموعه داده‌های ورودی گره‌های x و مقادیر v ، به طور جدا گا نه درونیابی هرمیت چندجمله‌ای مکعبی پیدا می‌کند که هم مقادیر داده داده شده v_i و v_{i+1} را در گره‌های فاصله x_i و x_{i+1} درونیابی می‌کند و هم دارای مشتقات خاص d_i و d_{i+1} در x_i و x_{i+1} است. نکته کلیدی در درونیابی هرمیت مکعبی، انتخاب مشتقات d_i است. آکیما در [۱۸] فرمولی برای مشتق ارائه داد که از نوسان محلی بیش از حد جلوگیری می‌کند. فرض کنید شیب در بازه $[x_i, x_{i+1}]$ عبارت است از

$$d_i = (v_{i+1} - v_i) / (x_{i+1} - x_i)$$

مشتق آکیما در x_i به این صورت تعریف می‌شود:

$$d_i = \frac{|\delta_{i+1} - \delta_i| \delta_{i-1} + |\delta_{i-1} - \delta_{i-2}| \delta_i}{|\delta_{i+1} - \delta_i| + |\delta_{i-1} - \delta_{i-2}|} \quad (8)$$

این کمیت نشان دهنده یک میانگین وزنی بین دامنه δ_{i-1} و δ_i فواصل $[x_{i-1}, x_i]$ و $[x_i, x_{i+1}]$ است.

$$d_i = \frac{w_1}{w_1 + w_2} \delta_{i-1} + \frac{w_2}{w_1 + w_2} \delta_i \quad (9)$$

$$w_1 = |\delta_{i+1} - \delta_i| \quad (10)$$

$$w_2 = |\delta_{i-1} - \delta_{i-2}| \quad (11)$$

توجه داشته باشید که مشتق آکیما در x_i به طور محلی از پنج نقطه $x_{i-2}, x_{i-1}, x_i, x_{i+1}, x_{i+2}$ و محاسبه می‌شود. برای نقاط پایانی x_1 و x_n به شیب‌های $\delta_0, \delta_{n-1}, \delta_n$ و δ_{n+1} نیاز دارد. از آنجا که این شیب‌ها در داده‌های ورودی موجود نیستند، آکیما پیشنهاد کرد با استفاده از برونيابي درجه دوم محاسبه آنها به صورت زیر انجام گیرد:

$$\delta_0 = 2\delta_1 \delta_2 \quad (12)$$

و بدون از دست دادن کلیت، فرض $T = 1$ لحاظ می‌گردد. در این صورت، فرآیند با رابطه زیر توصیف می‌شود:

$$f(x) = \sum_{k \in \mathbb{Z}} f_k \varphi(x - k) \quad (2)$$

کرنل (هسته) باید شرایط زیر را داشته باشد.

$$\varphi(0) = 1 \quad (3)$$

$$\varphi(k) = 0 \quad \forall k \neq 0 \quad (4)$$

۳-۲ درونیابی اسپلاین^۱

درونيابي اسپلاین، يك روش درونیابي است که در آن، نوع خاصی از يك چندجمله‌ای تکه‌ای با نام اسپلاین به کار می‌رود. درونیابي اسپلاین اغلب نسبت به درونیابي چندجمله‌ای ترجیح داده می‌شود، زیرا حتی وقتی از چندجمله‌ای هایی با درجه پایین برای اسپلاین استفاده می‌شود، می‌توان به خطای درونیابی کمتری دست یافت. درونیابي اسپلاین از مسئله پدیده رونگه^۲ جلوگیری می‌کند [۱۷]. در پدیده رونگه، هنگام استفاده از چندجمله‌ای های مرتبه بالا در درونیابي، ممکن است بین نقاط نوسان رخ دهد.

روش کلاسیک برای استفاده از چندجمله‌ای درجه ۳، اسپلاین مکعبی^۳ نامیده می‌شود که در آن، مشتق اول پیوسته است، اما مشتق دوم پیوسته نیست. درونیابي مکعبی اسپلاین یک چندجمله‌ای ساده و پیوسته متناسب با نقاط داده تولید می‌کند. ایده اصلی در مورد درونیابي مکعبی اسپلاین به رسم منحنی‌های هموار از طریق تعدادی از نقاط است. روش درونیابي مکعبی اسپلاین دقت درونیابي هموار و بهتری ارائه می‌دهد. اگر $\hat{H}(k)$ پاسخ کanal در زیر حامل k, m اندیس پایلوت‌ها و N_p تعداد نقاط موجود برای درونیابي یا همان تعداد پایلوت‌ها باشد، رابطه درونیابي اسپلاین بصورت زیر است،

$$\begin{aligned} \hat{H}(k) &= \hat{H}(kN_p + l) \\ &= \alpha_1 \hat{H}_P(m+1) + \alpha_0 \hat{H}_P(m) \\ &\quad + N_p \alpha_1 \hat{H}_P(m+1) \\ &\quad - N_p \alpha_0 \hat{H}'_P(m) \\ m &= 0, 1, \dots, N_p - 1 \end{aligned} \quad (5)$$

مشتق مرتبه اول $\hat{H}'_P(m)$ است. α_1 و α_0 نیز

بصورت زیر تعریف می‌شود.

$$\alpha_1 = \frac{3(N_p - 1)^2}{N_p^2} - \frac{2(N_p - 1)^3}{N_p^3} \quad (6)$$

⁴ Nearest-neighbor interpolation

⁵ Akima

¹ Spline

² Runge

³ Cubic Spline

دروندیابی لاگرانژ بر مبنای ساخت تابع پایه چندجمله‌ای از روی فاصله میان نقطه درونیابی با نقطه مرجع است. تابع پایه m به صورت زیر ساخته می‌شود،

$$f_m(x) = \prod_{\substack{m=1 \\ m \neq m}}^{N_p} \frac{x - p_m}{p_m - p_m} \quad (16)$$

در این رابطه، p_m نقطه مرجع m است که در مسئله ما پایلوت m مح سوب می‌شود. هر پایلوت یک تابع پایه مربوط به خود را دارد و در مجموع باید N_p پایه ساخته شود. ترکیب خطی این توابع پایه نتیجه درونیابی لاگرانژ را بدست می‌دهد. هر چه مرتبه چندجمله‌ای بیشتر باشد، نتیجه درونیابی بهتر است ولی پیچیدگی الگوریتم به شدت افزایش می‌یابد. همچنین پدیده رونگه موجب می‌شود درونیابی در نقاط مرزی از مقدار واقعی دورتر باشد و افت مح سو سی در کارایی درونیابی ایجاد می‌نماید [۹]. دلیل نیاز به مرتبه بالاتر، بزرگ بودن بازه‌های درونیابی است. در [۱۰] روش درونیابی لاگرانژ اصلاح شده بر اساس ایده تغییر این بازه‌ها پیشنهاد شده است. در این روش، بازه‌های پایلوت‌ها برای درونیابی متفاوت است. بدین منظور کل بازه شامل N_p نقطه مرجع (پایلوت‌ها) به تعدادی زیر بازه کوچکتر با همپوشانی تقسیم می‌گردد. پایه‌های درونیابی برای هر زیربازه جداگانه بدست می‌آید. پس از درونیابی تمام زیربازه‌ها، خروجی مجدداً با همپوشانی جمع می‌گردد تا از قسمت‌های تکراری میانگین‌گیری شود. این روش دقت بیشتری در درونیابی دارد و خطای تخمین کanal را کاهش می‌دهد [۱۰].

۳. روش پیشنهادی

هدف این پژوهش، ارزیابی تأثیر روش‌های درونیابی مختلف در تخمین کanal پخش زمینی تلویزیون دیجیتال است که بر اساس آن چارچوبی جهت انتخاب درونیاب مناسب پیشنهاد شده است. در طرح پیشنهادی از یک درونیاب ثابت استفاده نمی‌شود، بلکه درونیاب را باید متناسب با شرایط کanal و در صد سریار پایلوت تغییر داد. به عبارت دیگر، به جای استفاده از یک درونیاب ثابت که در استاندارهایی مانند DVB-T2 معمول است، بهتر است درونیاب به صورت وفقی باشد و متناسب با شرایط تغییر کند.

اولین عامل مؤثر در انتخاب درونیاب، پاسخ کanal محو شونده است. برای کانال‌های محو شونده، دو عامل گسترش تأخیر^۱ (معکوس پهنای باند همدوسی^۲) و گسترش داپلر^۳ (معکوس زمان همدوسی^۴) وجود دارد. با توجه به این که درونیابی

$$\delta - 1 = 2\delta_0 - \delta_1 \quad (13)$$

$$\delta_n = 2\delta_{n-1} - \delta_{n-2} \quad (14)$$

$$\delta_{n+1} = 2\delta_n - \delta_{n-1} \quad (15)$$

۶-۲ درونیابی ماکیما

دروندیابی ماکیما بهبود یافته روش اکیما است پس از نوع هرمیت مکعبی قطعه‌ای است. در روش اکیما نقاط دو طرف یک بازه وزن‌های برابر دارند ولی در روش ماکیما سمتی که به حالت افقی نزدیکتر است اولویت دارد تا از بالازدگی در درونیابی اجتناب شود. این بهبود موجب شده‌است که روش ماکیما ویژگی‌های زیر را داشته باشد.

- نوسان‌هایی ایجاد می‌کند که حد وسط خوبی بین درونیاب "اسپلاین" و "چندجمله‌ای هرمیت مکعبی" قرار می‌گیرد.
- یک درونیاب مکعبی محلی است که به شبکه‌های دو بعدی و شبکه‌های با ابعاد بالاتر تعمیم می‌یابد.
- مقاومت فرمول آکیما را در لوب‌های فرعی برابر افزایش می‌دهد.
- هنگامی که داده‌ها برای بیش از دو گره متوالی ثابت باشند، نوع خاصی از بالازدگی را از بین می‌برد.

۷-۲ درونیابی با FFT

مبناًی روش درونیابی با FFT افزودن صفر به انتهای دنباله داده در ناحیه تبدیل است. با اعمالIFFT روی دنباله جدید که بزرگتر شده است، دنباله درونیابی شده بدست می‌آید. این روند روی ماتریس پاسخ کanal قابل پیاده‌سازی است. فرض کنید نتیجه تخمین کanal در N_p زیرحامل پایلوت برای \mathbf{l}_p سمبول N_p -FFT در ماتریسی با ابعاد $N_p \times \mathbf{l}_p$ ذخیره شده باشد. ابتدا تمام \mathbf{l}_p یک بعدی روی ستون‌های ماتریس (محور فرکانس) برای تمام \mathbf{l}_p سمبول اعمال می‌شود. در انتهای خروجی هر FFT که برداری با N_p درایه‌های آن به \mathbf{N} ، یعنی تعداد کل زیرحامل‌های داده صفر اضافه می‌شود تا OFDM مجموع زیرحاملهای پایلوت و داده) افزایش یابد. اکنون روی تمام ستون‌ها N -IFFT اعمال می‌شود. روند مشابهی روی سطرها تکرار می‌شود تا از روی \mathbf{l}_p سمبول پایلوت، تخمین کanal برای تمام سمبول‌های ODFM بدست آید [۷].

۸-۲ درونیابی لاگرانژ و لاگرانژ اصلاح شده

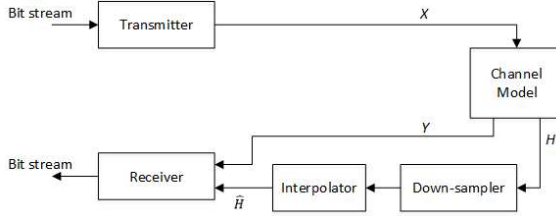
³ Doppler spread

⁴ Coherence time

¹ Delay spread

² Coherence bandwidth

در این رابطه Y_k خروجی کanal و \hat{H}_k تخمینی از پاسخ کanal در زیر حامل k است. نتیجه این جبرانسازی یعنی \hat{X} تخمینی از ورودی کanal در آن زیر حامل است. دنباله خروجی گیرنده با دنباله اصلی مقایسه و BER بدست می آید. بلوک دیاگرام این شبیه سازی در شکل ۱ نمایش داده شده است.



شکل ۱. بلوک دیاگرام شبیه سازی

برای مدل سازی کanal از پارامترهای گزارش شده در [۱۹] استفاده شده است که برای کanalهای DVB-T2 ارائه شده است. این مدلها با انجام آزمایش هایی در منطقه شهری زاگرس بدست آمده است. در این اندازه گیری ها سه نوع مدل مسیر بلند، متوسط و کوتاه برای کanal DVB-T2 معرفی شده است. هر سه مدل محو شوندگی رایلی با ۶ مسیر است که تأخیرها و افت های مسیر های ایشان تفاوت دارد. کanal بلند نشان دهنده شرایطی است که در آن یک مسیر سیگнал مستقیم است و مسیر های دیگر بسیار تضعیف شده و حداقل تاخیر آن به ۷۵ میکرو ثانیه می رسد. کanal متوسط مشابه بلند است ولی با تاخیر سیگنال تا ۲۱ میکرو ثانیه. کanal کوتاه تاخیر های بسیار کمتری دارد و حداقل تاخیر به ۲,۸ میکرو ثانیه می رسد، اما سیگنال ها ضعیف می شوند که دریافت را سخت تر می کند. پروفایل این سه نوع کanal در جدول های زیر آمده است.

جدول ۱. تضعیف مسیرها بر حسب dB برای سه مدل کanal

مسیر	کanal کوتاه	کanal متوسط	کanal بلند
۱	۲,۸	۰	۰
۲	۰	۸,۶	۹
۳	۳,۸	۱۲,۶	۲۲
۴	۰,۱	۱۸	۲۵
۵	۲,۶	۲۰,۷	۲۷
۶	۱,۳	۲۲,۲	۲۸

جدول ۲. تاخیر مسیرها بر حسب میکرو ثانیه برای سه مدل

مسیر	کanal کوتاه	کanal متوسط	کanal بلند
۱	۰	۰	۰
۲	۰,۰۵	۱	۵

یک بعدی در محور فرکانس مد نظر است، مشخصه اول یعنی گسترش تأخیر که به میزان فرکانس گزینی پاسخ کanal مرتبط است به عنوان معیار بررسی وضعیت کanal لحاظ می شود. درونیابی کanal در محور زمان که از همبستگی زمانی پاسخ کanal استفاده می کند تحت تأثیر گسترش داپلر است و در مطالعه فعلی تأثیر ندارد. یکی دیگر از مشخصه های کanal میزان نویز است که با پارامتر SNR نمایندگی می شود. ارزیابی این پژوهش نشان می دهد تأثیر SNR روی انتخاب درونیاب کمتر از عامل قبلی است.

علاوه بر تأثیر پاسخ کanal روی عملکرد درونیابی که در پژوهش های گذشته نیز مورد توجه بوده است، درصد سربار پایلوت نیز در انتخاب درونیاب تأثیر دارد. به عبارت دیگر، میزان نمونه های موجود از تابع، روی خطای درونیابی از آن مؤثر است. ممکن است با تعداد کمی نمونه از یک تابع، درونیاب پیچیده ای مانند مکعبی یا ماکیما بهتر از دورنیاب ساده خطی عمل کند؛ ولی با افزایش تعداد نمونه ها از همان تابع، پاسخ درونیابی خطی حتی از درونیاب مکعبی یا ماکیما نیز بهتر شود. در این شرایط انتخاب درونیاب مکعبی تحمیل پیچیدگی و هزینه بی فایده و حتی مضر است، چون نوسان ها به خصوص در نقاط مرزی که تعدادشان بیشتر شده است باعث افزایش خطای می شود، در حالی که این تعداد نمونه برای درونیابی خطی کفایت می کند و خطای کمتری دارد.

در روش پیشنهادی، گسترش تأخیر کanal و درصد سربار پایلوت دو معیار انتخاب درونیاب یک بعدی مناسب است. قواعد و چارچوب انتخاب درونیاب مناسب با آزمایش های مختلفی حاصل شده است. به منظور ارزیابی عملکرد درونیاب های مختلف، یک لینک مخابراتی با مدولاسیون OFDM با ۱۰۲۴ QAM و MATLAB شبیه سازی شده است. در این شبیه سازی، پارامترهای مدل های مختلف کanal برای تولید پاسخ آن وارد می شود. تنها نسبت مشخصی از نمونه های پاسخ کanal که به طور منظم انتخاب می شوند وارد بخش درونیاب می گردد. Down-sampler می شود که نرخ آن مناسب با درصد سربار پایلوت تعیین می گردد. نمونه هایی که حذف می شوند نقش پاسخ کanal در زیر حامل های داده را دارند که مقدار شان نامعلوم است. نمونه های باقیمانده نقش مقدار پاسخ کanal در پایلوت ها را دارند که وارد درونیاب می شوند و از روی آنها تخمین پاسخ کanal در تمام زیر حامل ها (\hat{H}) بدست می آید. از نتیجه درونیابی برای جبرانسازی به روش LS استفاده می گردد که رابطه آن به صورت زیر است.

$$\hat{X}_k = \frac{Y_k}{\hat{H}_k} \quad (17)$$

شکل ۲. نمونه‌ای از دامنه پاسخ فرکانسی کانال محوشونده (الف) مدل
کوتاه (ب) مدل متوسط (ج) مدل بلند

۴. نتایج آزمایش‌ها

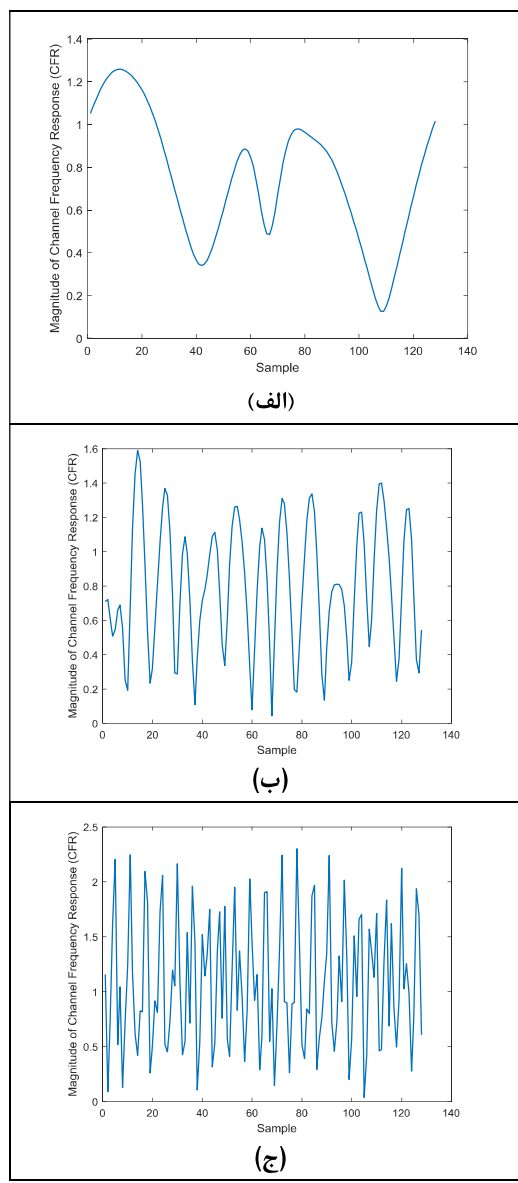
برای ارزیابی تأثیر درونیاب‌های مختلف روی مدل‌های متفاوت کانال، آزمایش‌های مختلفی در بستر شبیه‌سازی انجام شده است. به ازای هر یک از سه مدل معرفی شده از کانال DVB-T2، درونیابی با سه نسبت پایلوت ۵ درصد، ۱۰ درصد و ۲۵ درصد ارزیابی شده است. نسبت پایلوت ۲۵ درصد نسبت بالایی است و در استانداردهای پخش تلویزیون دیجیتال استفاده نمی‌شود، بلکه در ارتباطات بی‌سیمی که تغییرات فرکانسی و زمانی کانال شدیدتر است (مانند شبکه‌های ad hoc با گره‌های متخرّک) به کار می‌رود. در این آزمایش‌ها نسبت بالا برای مقایسه انتخاب شده است. نسبت پایلوت ۱۰ درصد نسبتی معمول است که در الگوی پایلوت استاندارد DVB-T نیز تعریف شده است. نسبت پایلوت ۵ درصد هم نماینده نسبت پایلوت کم است. البته در اســتا ندارد DVB-T2 که چندین الگوی پایلوت قابل استفاده است، میانگین نسبت پایلوت تا این مقدار یا حتی ۲ درصد نیز قابل کاهش است (متناسب با شرایط کانال). با ترکیب سه نسبت پایلوت برای سه مدل کانال، ۹ آزمایش انجام شده است که نتایج آنها در سه زیرفصل مجزا (به تفکیک نوع کانال) آمده است. در هر آزمایش ۷ نوع درونیاب نزدیکترین همسایه (NN)، خطی (Lin)، مکعبی (Cubic)، اسپلاین (Splin) ماقیما (MAK)، FFT و لگرانز اصلاح شده (MLag) با یکدیگر مقایسه گردیده است. بنابراین در مجموع این آزمایش‌ها، ۶۳ منحنی BER استخراج و در قالب ۹ شکل ترسیم شده است. برای محاسبه BER در هر SNR، بیش از ۱۰ هزار بیت آزمایش شد که در قالب ۱۰ بلوک ۱۰۲۴ بیتی وارد کانال شدند. برای هر بلوک، یک پاسخ کانال جدید از مدل مورد نظر استخراج گردید تا با پاسخ کانال بلوک‌های دیگر متفاوت باشد.

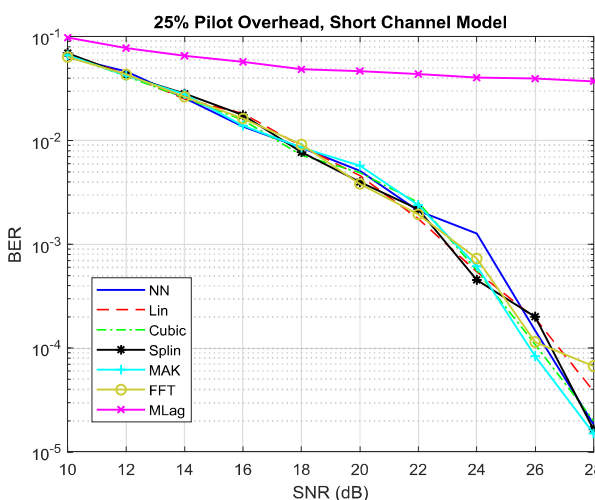
۱-۴ کانال کوتاه

نتایج درونیابی مدل کانال کوتاه با ۵ درصد سربار پایلوت در شکل ۳ نمایش داده شده است. عملکرد درونیاب‌های مکعبی و اسپلاین و FFT نزدیک به یکدیگر و از سایر درونیاب‌ها بهتر است. پس از بین این سه درونیاب، بهتر است درونیاب با زمان و هزینه پردازش کمتر انتخاب شود. درونیاب لگرانز اصلاح شده گرچه پیچیده‌تر از درونیاب خطی و نزدیکترین همسایه است، ولی به خطای کمتری منجر نمی‌شود. با افزایش نسبت پایلوت‌ها به ۱۰ درصد، نرخ خطای کاهش می‌یابد که طبق انتظار است (شکل ۴). در این حالت خطای روش‌های نزدیکترین همسایه و ماقیما نیز به روش‌های مکعبی و اسپلاین نزدیک می‌شود. در آزمایش بعد که با

۳	۰,۴	۵	۱۴
۴	۱,۴۵	۸	۳۵
۵	۲,۳	۱۲	۵۴
۶	۲,۸	۲۱	۷۵

درباره حداقل شیفت داپلر، با توجه به سکون یا تحرک کم فرستنده و گیرنده‌های تلویزیون دیجیتال، اثر داپلر بسیار کم است. تنها به جهت جابجایی‌های ناشی از عوامل طبیعی یا غیرعمدی مانند باد و با توجه به اطلاعات موجود در شرایط آزمایش، سرعت نسبی ۰,۴ کیلومتر بر ساعت لحاظ شده است که در باند فرکانسی UHF معادل ۰,۲۵ هرتز شیفت فرکانس داپلر می‌شود. نمونه‌های دامنه‌ی پاسخ فرکانسی از این سه مدل کانال محوشونده در شکل زیر نمایش داده شده است. تغییرات پاسخ فرکانسی کانال تحت تأثیر پدیده محوشوندگی کاملاً واضح است و این رفتار در مدل‌ها تفاوت دارد.





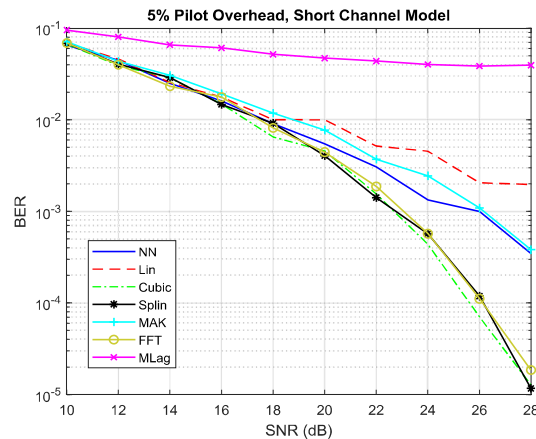
شکل ۵. منحنی BER بر حسب SNR به ازای سربار پایلوت ۲۵ درصد در مدل کanal کوتاه

در آزمایشی که در صد سربار ۲۵ درصد و عملکرد روش‌ها از نظر BER نزدیک یکدیگر است، زمان لازم برای اجرای درونیاب‌های مختلف در جدول ۳ به طور صعودی ارائه شده است. این زمان‌ها با یکسان که CPU آن از نوع Core i7 است برای پردازش تمام PC ۱۰۴۴۰ بیت تحت آزمایش اندازه‌گیری شده است. از روی این زمان‌ها مشاهده می‌شود کمترین زمان اجرا مربوط به روش نزدیکترین همسایه یعنی ساده‌ترین روش درونیابی است. بیشترین زمان اجرا برای روش مکعبی است. این رتبه‌بندی روش‌های درونیابی بر اساس زمان اجرا به نوع کanal وابسته نیست، لذا در آزمایش‌های دیگر تکرار نمی‌شود.

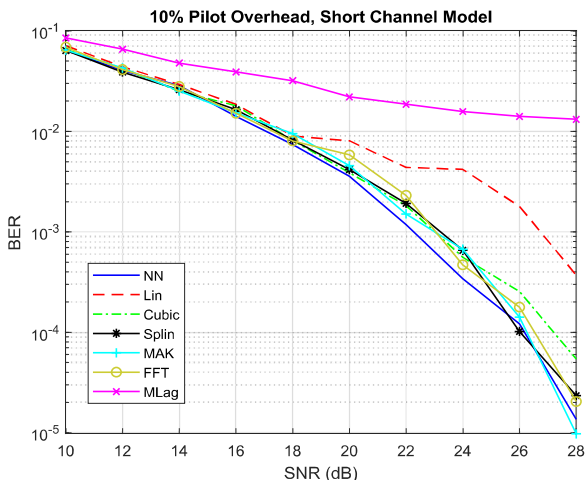
۲-۴ کanal متوسط

در کanal متوسط نیز با نسبت پایلوت کم، روش‌های مکعبی و اسپلاین بهترین نتیجه را دارند. درونیاب‌های ساده‌ای مانند نزدیکترین همسایه و خطی پاسخ خوبی ندارند و افت آنها کند می‌شود، یعنی به نظر می‌رسد حتی با افزایش SNR خطای از یک حدی پایین‌تر نمی‌آید (شکل ۶). با افزایش تعداد پایلوت‌ها در مدل کanal متوسط، پاسخ درونیاب‌های ساده و خطی بهبود محسوس‌تری می‌یابند. خطای درونیاب خطی حتی از درونیاب اسپلاین نیز کمتر می‌شود (شکل ۷). با نسبت پایلوت ۲۵ درصد در مدل کanal متوسط، نتیجه درونیاب خطی به طور محسوسی از سایر درونیاب‌ها بهتر می‌شود و کمترین خطای را دارد، در حالی که خطای درونیاب‌های پیچیده‌تر مانند مکعبی و اسپلاین پاسخ بهتری نسبت به آزمایش قبل ندارد و خطای در همان مرتبه باقی‌مانده است (شکل ۸). این نتیجه جالبی است، زیرا نشان می‌دهد در این شرایط انتخاب درونیاب پیچیده بهتر نیست. پس ترجیح درونیاب مکعبی به درونیاب خطی موجب ضرر از هر دو دیدگاه دقت درونیابی و زمان اجرا می‌شود، چون این درونیاب هم پیچیده‌تر و کندر است و هم خطای آن افزایش یافته‌است. چنین

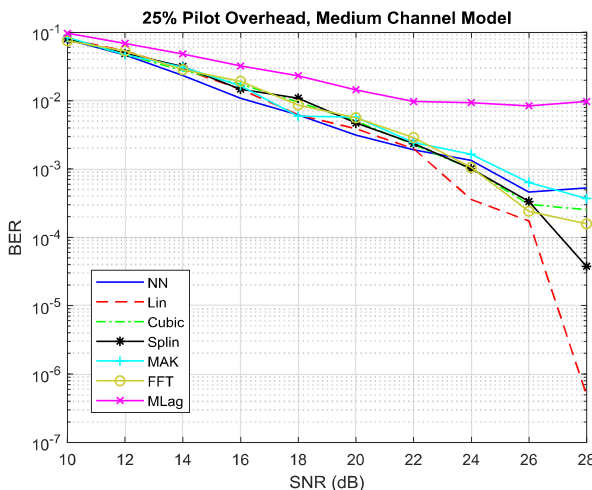
۲۵ در صد سربار پایلوت انجام شده است و اطلاعات زیادی برای درونیابی وجود دارد، نتیجه همه روش‌های درونیابی به جز لاغرانژ اصلاح شده به یکدیگر نزدیک می‌شود (شکل ۵). در این شرایط انتخاب درونیاب ساده و سریعی مانند درونیاب خطی توجیه پذیرتر است. در SNR بالا، خطای روش مکعبی از خطای روش‌های معکبی و اسپلاین نیز کمتر می‌شود، ولی این بهبود خیلی چشمگیر نیست. بنابراین از روی این نمودارها می‌توان درونیاب مناسب را بدون حساسیت روی مقدار SNR انتخاب کرد.



شکل ۳. منحنی BER بر حسب SNR به ازای سربار پایلوت ۵ درصد در مدل کanal کوتاه



شکل ۴. منحنی BER بر حسب SNR به ازای سربار پایلوت ۱۰ درصد در مدل کanal کوتاه



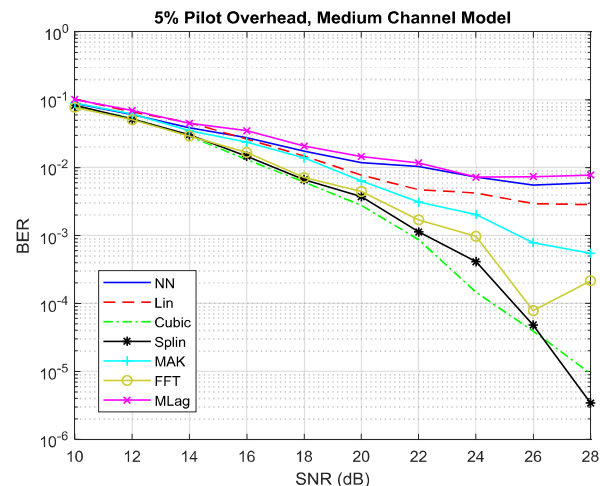
شکل ۸. منحنی BER بر حسب SNR به ازای سربار پایلوت ۲۵ درصد در مدل کanal متوسط

در مدل کanal بلند، درونیابی با نسبت پایلوت‌های کم با روش‌های اسپلاین و مکعبی نتیجه بهتری دارد (شکل ۹) که مشابه نتیجه‌گیری در مدل‌های قبلی کanal است. با افزایش نسبت پایلوت‌ها به ۱۰ درصد، پاسخ درونیاب خطی بهبود می‌یابد و به درونیاب مکعبی نزدیک می‌شود (شکل ۱۰). با نسبت پایلوت ۲۵ درصد در مدل کanal بلند، درونیاب مکعبی همچنان بهترین نتیجه FFT را دارد، گرچه اختلاف آن با درونیاب‌های اسپلاین، MAK، مکیما، و حتی خطی کمتر است (شکل ۱۱). درونیاب‌های نزدیکترین همسایه و لاگرانژ اصلاح شده در این مدل کanal نتیجه مطلوبی ندارد و حتی در نسبت پایلوت بالا خطای آن به طور محسوسی از سایر روش‌ها بیشتر است.

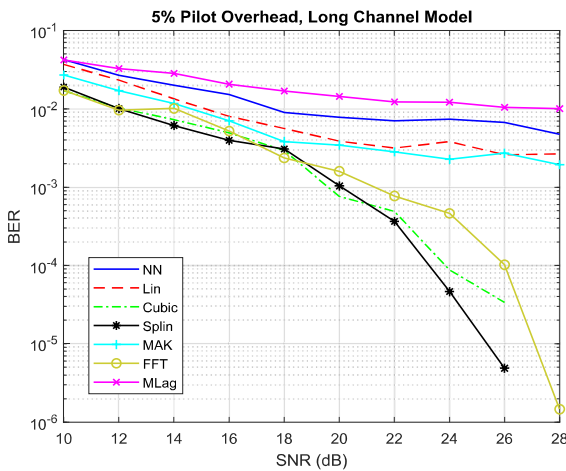
تعییری درباره سایر درونیاب‌های پیچیده‌تر از خطی نیز صادق است.

جدول ۳. زمان اجرای برنامه شبیه‌سازی

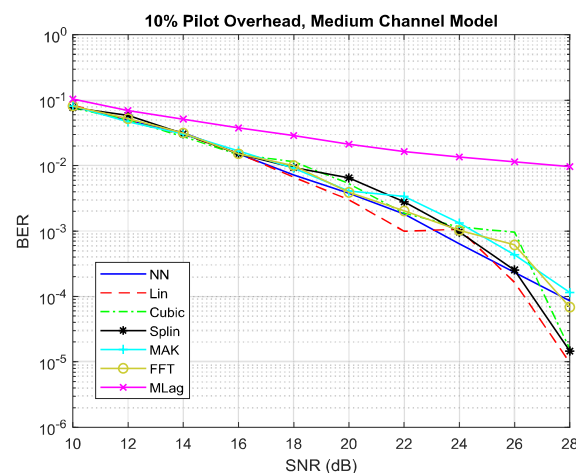
روش درونیابی	زمان اجرا (ثانیه)
نزدیکترین همسایه (NN)	۳۲۹,۶
اسپلاین (Spline)	۳۳۰,۰۴
خطی (Lin)	۳۳۰,۳
تبديل فوريه سريع (FFT)	۳۳۴,۳۸
لاگرانژ اصلاح شده (MLag)	۳۴۵,۱۶
ماکیما (MAK)	۳۴۹,۴
مکعبی (Cubic)	۳۶۴,۳



شکل ۶. منحنی BER بر حسب SNR به ازای سربار پایلوت ۵ درصد در مدل کanal متوسط



شکل ۹. منحنی BER بر حسب SNR به ازای سربار پایلوت ۵ درصد در مدل کanal بلند



شکل ۷. منحنی BER بر حسب SNR به ازای سربار پایلوت ۱۰ درصد در مدل کanal متوسط

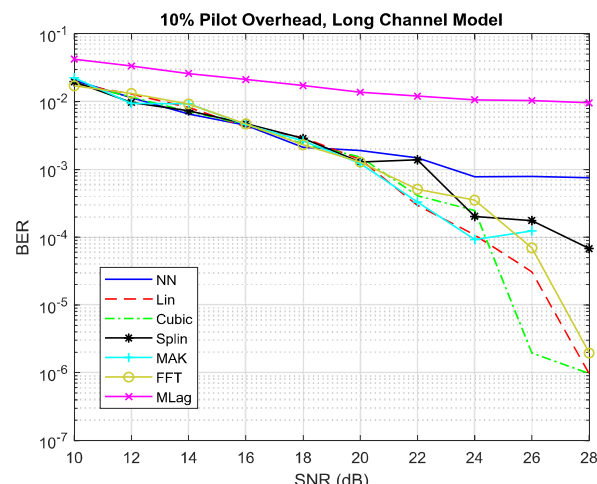
۵. نتیجه‌گیری

در این پژوهش اثر درونیابی روی تخمین و جبرانسازی کanal و در نتیجه کیفیت یک لینک DVB-T2 ارزیابی شد. برای این ارزیابی آزمایش‌های مختلفی انجام گرفت که پارامترهای آن از جمله مدل کanal بر اساس مقادیر استاندارد و اندازه‌گیری‌های واقعی انتخاب شده‌است. از مجموع این بررسی‌ها نتایج زیر حاصل می‌شود.

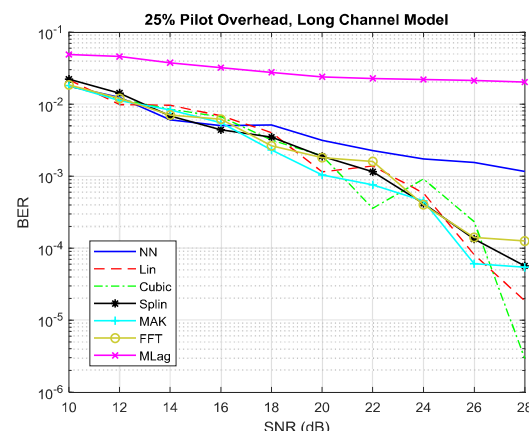
- تحلیل اثر نسبت پایلوت: با افزایش درصد سربار پایلوت، خطا در همه روش‌ها و مدل‌های کanal کاهش می‌یابد. البته با افزایش این نسبت که به معنای بهبود شرایط است، اختلاف میان کارایی روش‌های درونیابی کمتر می‌گردد. در این شرایط بین یک روش ساده مانند نزدیکترین همسایه و یک روش پیچیده تفاوت زیادی نیست، بنابراین استفاده از درونیاب‌های پیچیده‌تر توجیه ضعیفتری دارد و با یک درونیاب ساده نیز می‌توان به نتایج مشابه یا حتی بهتر رسید (به خصوص برای کanal‌هایی با محو شوندگی ضعیفتر). به عبارت دیگر وقتی به تعداد کافی پایلوت وجود دارد، تقریب‌های ساده نتایج بهتری دارد در حالی که نتیجه تقریب‌های پیچیده ممکن است از مقادیر واقعی دورتر شود. اهمیت درونیاب‌ها در نسبت پایلوت‌های کمتر مشهود است و در چنین شرایطی بهتر است از پایلوت‌های پیچیده‌تر مانند مکعبی و اسپلاین استفاده کرد. در کل پیچیده‌تر شدن درونیابی همواره منجر به بهتر شدن نتیجه نمی‌شود.

- تحلیل اثر مدل کanal: به ازای یک نسبت پایلوت برابر در مدل‌های کanal متفاوت، نتیجه درونیاب‌ها متفاوت است. این مشاهده نشان می‌دهد نتیجه درونیابی به رفتار کanal نیز وابسته است. مثلاً برای نسبت پایلوت بالا (۱۰ و ۲۵ درصد) بهترین درونیاب برای مدل کanal متوسط درونیاب خطی است، در حالی که برای مدل بلند درونیاب مکعبی در برخی مقادیر SNR نتیجه بهتری دارد. در این مقایسه SNR نیز می‌تواند تا حدی مؤثر باشد.

در مجموع می‌توان نتیجه گرفت که انتخاب روش درونیابی باید متناسب با شرایط طراحی (نسبت سربار پایلوت) و مدل کanal باشد و یک روش درونیابی همواره بهترین روش نیست. در این انتخاب هم باید به دقت حاصل (با معیار BER) توجه داشت و هم به پیچیدگی الگوریتم که با زمان پیاده‌سازی آن ارتباط دارد و برای سیستم‌های بلاذر نگ مهم است. چنین تحلیل و نتیجه‌گیری‌های مشابه برای برخی ارتباطات مانند شبکه‌های موبایل انجام شده است ولی برای کanal‌های پخش تلویزیون دیجیتال انجام نشده بود که این پژوهش با هدف پاسخگویی به این خلا و یافتن بهترین درونیاب برای کanal‌های DVB-T2 انجام



شکل ۱۰. منحنی BER بر حسب SNR به ازای سربار پایلوت ۱۰ درصد در مدل کanal بلند



شکل ۱۱. منحنی BER بر حسب SNR به ازای سربار پایلوت ۲۵ درصد در مدل کanal بلند

۳-۴ کanal بلند

چارچوب پیشنهادی برای انتخاب درونیاب کanal پخش زمینی تلویزیون دیجیتال برای اس ازمایش‌های متنوع و تحلیلی که ارائه شد بدست می‌آید. برای اس ازمایش این چارچوب، وقتی تعداد پایلوت‌ها کم و گسترش تأخیر کanal کم است (شرایط خوب کanal)، درونیابی اسپلاین انتخاب خوبی است. با افزایش گسترش تأخیر کanal که به معنای افزایش فرکانس‌گزینی است، پرداخت هزینه پردازش بیشتر برای درونیاب مکعبی توجیه پذیر می‌شود. وقتی سربار پایلوت زیاد و شرایط کanal خوب است، درونیابی خطی انتخاب مناسب است، زیرا با زمان و هزینه پردازش کمتر به نتایج مشابه درونیاب‌های ماکیما و مکعبی می‌رسد. با بدتر شدن وضعیت کanal (افزایش گسترش تأخیر)، درونیاب‌های ماکیما و مکعبی که به خصوص در برخی SNR‌ها پاسخگویان بهتر می‌شود، قابل انتخاب هستند. انتخاب درونیاب نزدیکترین همسایه که کمترین زمان و هزینه پردازش را دارد و درونیاب لآخر اصلاح شده به طور کلی توصیه نمی‌شود.

- [10] L. Yong, S. Guodong, S. Xuanfan *et al.*, "BEM-based Channel Estimation and Interpolation Methods for Doubly-selective OFDM Channel", in *IEEE International Conference on Smart Internet of Things*, Aug. 2018, China.
- [11] G. Liu, L. Zeng, H. Li, *et al*, "Adaptive Interpolation for Pilot-Aided Channel Estimator in OFDM System," *IEEE Transactions on Broadcasting*, vol. 60, no. 3, Sep. 2014.
- [12] K. Hariprasad, S. Sandeep and C. Manikanta, "An Interpolation Technique for Channel Estimation in OFDM Systems," *International Journal of Science and Research (IJSR)*, vol. 4, August 2015.
- [13] N. Suga, R. Sasaki, T. Furukawa, "Channel Estimation Using Matrix Factorization Based Interpolation for OFDM Systems," in *IEEE 90th Vehicular Technology Conference (VTC2019)*, USA, Sep. 2019.
- [14] X. Chen, M. Jiang, "Enhanced Adaptive Polar-Linear Interpolation Aided Channel Estimation," *IEEE Wireless Communications Letters*, vol. 8, no. 3, 2019.
- [15] A. Osinsky, A. Ivanov, D. Yarotsky, "Bayesian Approach to Channel Interpolation, in Massive MIMO Receiver," *IEEE Communications Letters*, vol. 24, no. 12, 2020.
- [16] EN 302755 - V1.3.1 - Digital Video Broadcasting (DVB), European Telecommunications Standards Institute (ETSI), 2012.
- [17] C. Hall and W. Meyer, "Optimal Error Bounds for Cubic Spline Interpolation," *Journal of Approximation Theory*, vol. 16, Issue 2, February 1976.
- [18] H. Akima, "A New Method of Interpolation and Smooth Curve Fitting Based on Local Procedures," *Journal of the Association for Computing Machinery*, vol. 17, no. 4, pp. 589-602, 1970.
- [19] D. Tralic, E. Dumić, J. Vuković and S. Grgić, "Simulation and Measurement of DVB-T2 Channel Characteristics," in *International Symposium on Electronics in Marine (ELMAR)*, Croatia, 12-14 Sept. 2012.

شد. این انتخاب منحصر به یک درونیاب نیست، بلکه چارچوبی برای انتخاب وفقی روش درونیابی ارائه و ارزیابی شد.

مراجع

- [1] H. M. Mahmoud, A. S. Mousa and R. Saleem, "Channel Estimation Based in Comb-Type Pilots Arrangement for OFDM System over Time Varying Channel," *Journal of Networks*, vol. 5, no. 7, 2010.
- [2] Y. Liu, Z. Tan, H. Hu, L. J. Cimini, and G. Y. Li, "Channel Estimation for OFDM," *IEEE Communication Surveys and Tutorials*, vol. 16, no. 4, pp. 1891– 1908, 2014.
- [3] X. Dong, Wu-Sheng Lu and A. Soong, "Linear Interpolation in Pilot Symbol Assisted Channel Estimation for OFDM," *IEEE Transactions on Wireless Communications*, vol. 6, no. 5, 2007.
- [4] S. Coleri, M. Ergen, A. Puri, and A. Bahai, "Channel Estimation Techniques Based on Pilot Arrangement in OFDM Systems," *IEEE Transaction on Broadcasting*, vol. 48, no. 3, pp. 223-229, 2002.
- [5] S. Adegbite, B. G. Stewart and S. G. McMeekin, "Least Squares Interpolation Methods for LTE System Channel Estimation over Extended ITU Channels," *International Journal of Information and Electronics Engineering*, vol. 3, no. 4, 2013.
- [6] M. Lerch, "Experimental Comparison of Fast-Fading Channel Interpolation Methods for the LTE Uplink," in *57th International Symposium ELMAR*, Croatia, Sep. 2015.
- [7] M. Zourob, R. Rao, "2×1-D Fast Fourier Transform Interpolation for LTE-A OFDM Pilot-Based Channel Estimation," in *International Conference on Electrical and Computing Technologies and Applications (ICECTA)*, United Arab Emirates, Nov. 2017.
- [8] R. Makkar, S. Soni, A. Kalpesh Bachkaniwala, D. Rawal and N. Sharma, "Pilot Interpolation Based Channel Estimation for LTE Systems," *Procedia Computer Science*, vol. 171, pp. 2261–2266, 2020.
- [9] E. Chen, J. Zhang, X. Mu and S. Yang, "An novel ML estimator based on the Lagrange interpolation for the OFDM systems," in *IEEE International Conference on Intelligent Sensors, Sensor Networks and Information Processing*, Jan. 2009, pp: 529 - 532.